

И. Г. Соловьев, А. В. Васьякевич

МОДЕЛЬ ТЕПЛОДИНАМИКИ ГРУНТОВ В ПРОСТРАНСТВЕ СОСТОЯНИЙ

Дано представление термодинамической модели грунта в пространстве состояний зональных температур. Приведены результаты численного анализа

Исследуется вопрос о моделировании теплодинамических процессов в грунтах в условиях динамического промерзания и оттаивания. Поставленная задача имеет давнюю историю [1–4] и хорошо разработанный вычислительный аппарат [5, 6]. Однако развитие современных технических средств теплостабилизации отрицательных температур [7], с одной стороны, качественное совершенство и доступность информационно-вычислительных ресурсов [8] — с другой, делает актуальным решение новой задачи о стабилизации мерзлотных условий грунтов в оперативно динамическом режиме, как это реализуется в системах автоматического регулирования с обратными связями по контролируемым состояниям среды [9].

Данная работа носит вводный характер и посвящена описанию математической модели грунтов как объектов автоматизированного терморегулирования. По сути, рассматривается классическая задача Стефана [3] в непрерывном времени — t , но приведенная к дискретным осредненным состояниям зон, распределенных в пространстве. Для простоты анализа ограничимся одномерным случаем зонально-слоевого разделения по глубине, как это показано на рис. 1, где зафиксирована ситуация с протаиванием верхней части грунта.

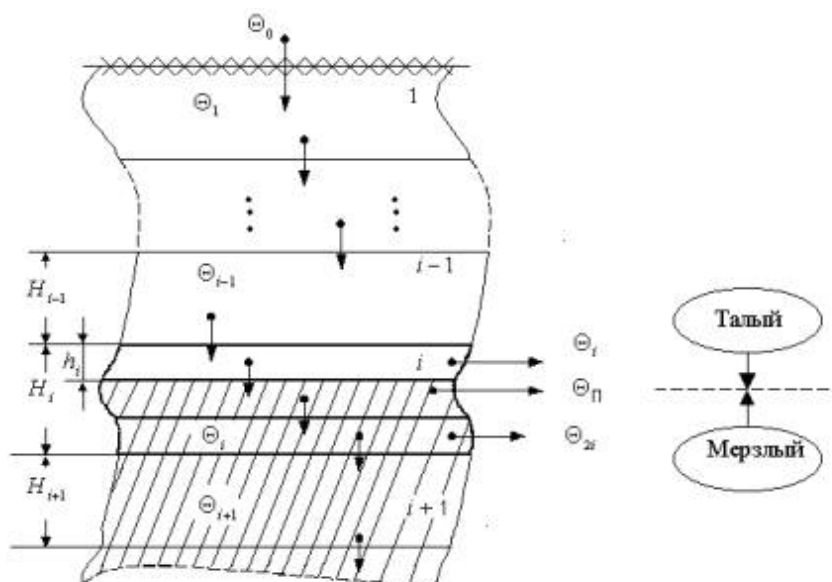


Рис. 1. Схема грунта с зоной фазового разделения

Каждая i -я зона характеризуется: $\Theta_i(t)$ — средней температурой, H_i — величиной (размером), Θ_{π} — средней температурой фазового перехода, $\Delta\Theta_i$ — динамическим диапазоном, в пределах которого процессы фазового перехода в зоне начинаются и заканчиваются, что записывается в виде

$$\Theta_i(t) \in [\Theta_{\pi} - \Delta\Theta_i, \Theta_{\pi} + \Delta\Theta_i]. \quad (1)$$

Иначе говоря, если $\Theta_i(t) \geq \Theta_{\pi} + \Delta\Theta_i$, то i -я зона находится в талом состоянии; если $\Theta_i(t) \leq \Theta_{\pi} - \Delta\Theta_i$, то i -я зона в мерзлом состоянии; в случае (1) зона содержит как талые, так и мерзлые подобласти и слой фазового перехода при Θ_{π} .

Объемные параметры зон талого и мерзлого состояний (рис. 1) будем оценивать переменной $m_i(t) = h_i(t)/H_i$. В условиях (1) соответствующую переменную определим через температуру $\Theta_i(t)$ следующим образом: если

$$\mu_i^0(t) = \frac{1}{2 \cdot \Delta \Theta_i} (\Theta_i(t) - \Theta_{IV} + \Delta \Theta_i),$$

то искомая зависимость имеет вид:

$$\mu_i(t) = \begin{cases} 0, & \text{если } \mu_i^0(t) \leq 0, \\ \mu_i^0(t), & \text{если } \mu_i^0(t) \in]0, 1[, \\ 1, & \text{если } \mu_i^0(t) \geq 1. \end{cases} \quad (2)$$

С учетом вновь введенного обозначения номера всех талых зон в момент времени t определяются условием

$$I_T(t) = \{i: m_i(t) = 1\},$$

номера зон со слоями фазовых переходов

$$I_P(t) = \{i: 0 < m_i(t) < 1\}$$

и номера мерзлых зон

$$I_M(t) = \{i: m_i(t) = 0\}.$$

Кроме указанных переменных состояния, каждая слоевая зона характеризуется теплофизическими параметрами, такими как: теплоемкость грунта в талом и мерзлом состояниях соответственно — c_{Ti} , c_{Mi} ; теплопроводность — λ_{Ti} , λ_{Mi} ; объемная влажность — b_i . Для зон с переходным состоянием $i \in I_P(t)$ соответствующие характеристики определяются как функции своих m_i , т. е.

$$c_i(\mu_i) = \mu_i c_{Ti} + (1 - \mu_i) c_{Mi}, \quad \lambda_i(\mu_i) = \mu_i \lambda_{Ti} + (1 - \mu_i) \lambda_{Mi}. \quad (3)$$

Указанный способ задания параметров является универсальным для

$$\forall i \in I = I_T(t) \cup I_P(t) \cup I_M(t),$$

так как $\langle c_i(0), \lambda_i(0) \rangle = \langle c_{Mi}, \lambda_{Mi} \rangle, \quad \langle c_i(1), \lambda_i(1) \rangle = \langle c_{Ti}, \lambda_{Ti} \rangle.$

При отсутствии конвективного теплопереноса термодинамика непереходных зон ($i \in I_T(t) \cup I_M(t)$) удовлетворяет уравнению Фурье [10], которое для дискретных пространственных координат может быть записано в виде системы

$$H_j c_j(\mu_j) \frac{d\Theta_j(t)}{dt} = \lambda_{j-1,j} \Theta_{j-1}(t) + \lambda_{j,j+1} \Theta_{j+1}(t) - (\lambda_{j-1,j} + \lambda_{j,j+1}) \Theta_j(t),$$

$$j \in I_T(t) \cup I_M(t) \quad (4)$$

с межслоевыми теплопроводностями

$$\lambda_{j-1,j} = \frac{1}{2}(\lambda_{j-1}(\mu_{j-1}) + \lambda_j(\mu_j)),$$

где $\lambda_{j-1,j} = \frac{1}{2}(\lambda_{j-1}(\mu_{j-1}) + \lambda_j(\mu_j))$. Для вывода уравнения переходной зоны воспользуемся введенными на рис. 1 обозначениями. По аналогии с (4) можно записать: для талой подзоны

$$\frac{d}{dt} c_{\text{тл}} h_i(t) \Theta_{\text{в}}(t) = \lambda_{i-1,i} (\Theta_{i-1}(t) - \Theta_{\text{в}}(t)) - \lambda_{\text{тл}} (\Theta_{\text{в}}(t) - \Theta_{\text{пл}}),$$

для мерзлой

$$\frac{d}{dt} c_{\text{мр}} (H_i - h_i(t)) \Theta_{2i}(t) = \lambda_{\text{мр}} (\Theta_{\text{пл}} - \Theta_{2i}(t)) - \lambda_{i,i+1} (\Theta_{2i}(t) - \Theta_{i+1}(t)),$$

условие Стефана для фазового перехода

$$\rho_i \beta_i Q_{\Phi} \frac{d}{dt} h_i(t) = \lambda_{\text{тл}} (\Theta_{\text{в}}(t) - \Theta_{\text{пл}}) - \lambda_{\text{мр}} (\Theta_{\text{пл}} - \Theta_{2i}(t)),$$

где Q_{Φ} — энергия фазового перехода для воды, ρ_i — плотность сухого грунта. Суммировав три приведенных уравнения, получаем

$$\begin{aligned} \frac{d}{dt} (c_{\text{тл}} h_i(t) \Theta_{\text{в}}(t) + c_{\text{мр}} (H_i - h_i(t)) \Theta_{2i}(t) + \rho_i \beta_i Q_{\Phi} h_i(t)) = \\ = \lambda_{i-1,i} (\Theta_{i-1}(t) - \Theta_{\text{в}}(t)) - \lambda_{i,i+1} (\Theta_{2i}(t) - \Theta_{i+1}(t)). \end{aligned} \quad (5)$$

По аналогии с $\mu_i^0(t)$ (2) введем линейную модель, связывающую среднюю температуру зоны $\Theta_i(t)$ с температурами $\Theta_{\text{в}}(t)$, $\Theta_{2i}(t)$ в подзонах следующими соотношениями:

$$\Theta_{\text{в}} = \frac{1}{2}(\Theta_i + \Theta_{\text{пл}} + \Delta\Theta_i), \quad \Theta_{2i} = \frac{1}{2}(\Theta_i + \Theta_{\text{пл}} - \Delta\Theta_i). \quad (6)$$

Из графиков введенных зависимостей (рис. 2) следует, что с достижением условия $\Theta_i = \Theta_{\text{пл}} - \Delta\Theta_i$ в i -й зоне начинается процесс перехода из мерзлого состояния в талое. Слой фазового перехода, по сути, образует первую подзону с $\Theta_{\text{в}} = \Theta_{\text{пл}}$ и $h_i \approx 0$. Вторая подзона охватывает размер почти всей i -й зоны $H_i - h_i \approx H_i$, поэтому $\Theta_{2i} = \Theta_i$. Процесс оттаивания i -й зоны заканчивается, когда выполнено условие: $\Theta_i = \Theta_{\text{пл}} + \Delta\Theta_i$, при этом слой фазового перехода, образуя вторую подзону $\Theta_{2i} = \Theta_{\text{пл}}$ нулевого размера $H_i - h_i \approx 0$, переходит в первую подзону следующего $i + 1$ сегмента, средняя температура i -го сегмента совпадает со средней первой зоны: $\Theta_{\text{в}} = \Theta_i$.

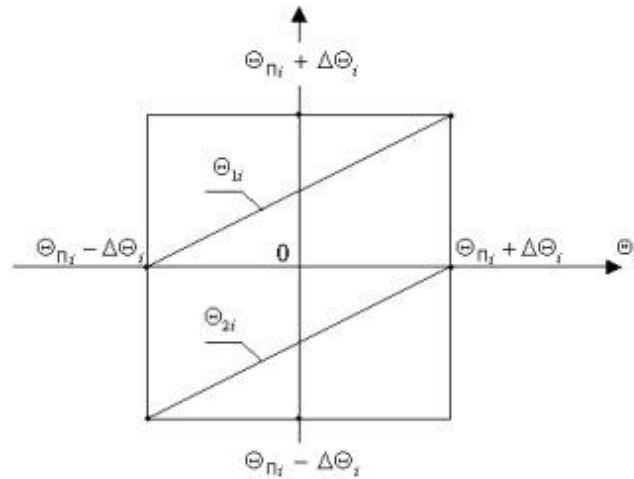


Рис. 2. Зависимость температуры i -й зоны и соответствующих подзон

Осуществим подстановку (6) в (5). С учетом определения $m_i = h_i / H_i$ и модели (2) для левой части уравнения после выноса H_i за знак производной справедливы следующие равенства:

$$\begin{aligned}
 & H_i \frac{d}{dt} (\rho_i \beta_i Q_{\Phi} \mu_i(t) + c_{TV} \mu_i(t) \Theta_{1i}(t) + c_{M} (1 - \mu_i(t)) \Theta_{2i}(t)) = \\
 & = H_i \frac{d}{dt} [\mu_i(t) (\rho_i \beta_i Q_{\Phi} + c_{TV} \frac{1}{2} (\Theta_{1i}(t) + \Theta_{n_i} + \Delta \Theta_i)) - \\
 & - c_{M} \frac{1}{2} (\Theta_{1i}(t) + \Theta_{n_i} - \Delta \Theta_i)) + c_{M} \frac{1}{2} (\Theta_{2i}(t) + \Theta_{n_i} - \Delta \Theta_i)] = \\
 & = H_i [\mu_i(t) \frac{1}{2} (c_{TV} - c_{M}) + \frac{1}{2} c_{M} + \frac{1}{2 \Delta \Theta_i} (\rho_i \beta_i Q_{\Phi} + \frac{1}{2} (c_{TV} (\Theta_{1i}(t) - \Theta_{n_i} + \Delta \Theta_i)) - \\
 & - c_{M} (\Theta_{2i}(t) - \Theta_{n_i} + \Delta \Theta_i)) + 2(c_{TV} - c_{M}) \Theta_{n_i} + 2c_{M} \Delta \Theta_i] \frac{d \Theta_i(t)}{dt} = H_i (c_i(\mu_i(t)) + \tau_{\Phi i}) \frac{d \Theta_i(t)}{dt},
 \end{aligned}$$

где

$$\tau_{\Phi i} = (\rho_i \beta_i Q_{\Phi} + (c_{TV} - c_{M}) \Theta_{n_i}) / 2 \Delta \Theta_i, \quad (7)$$

а $c_i(m_i(t))$ — из (3). Для правой части уравнения (5) имеем:

$$\begin{aligned}
 & \lambda_{i-1,i} (\Theta_{i-1}(t) - \Theta_{1i}(t)) - \lambda_{i,i+1} (\Theta_{2i}(t) - \Theta_{i+1}(t)) = \\
 & = \lambda_{i-1,i} (\Theta_{i-1}(t) - \frac{1}{2} (\Theta_{1i}(t) + \Theta_{n_i} + \Delta \Theta_i)) - \\
 & - \lambda_{i,i+1} (\frac{1}{2} (\Theta_{2i}(t) + \Theta_{n_i} - \Delta \Theta_i) - \Theta_{i+1}(t)) = \\
 & = \lambda_{i-1,i} \Theta_{i-1}(t) + \lambda_{i,i+1} \Theta_{i+1}(t) - \frac{1}{2} (\lambda_{i-1,i} + \lambda_{i,i+1}) \Theta_{1i}(t) + \Delta Q_i,
 \end{aligned}$$

где

$$\Delta Q_i = \frac{1}{2} [(\lambda_{i,i+1} - \lambda_{i-1,i}) \Delta \Theta_i - (\lambda_{i-1,i} + \lambda_{i,i+1}) \Theta_{n_i}], \quad (8)$$

а

$$\lambda_{i-1,i} = \frac{1}{2}(\lambda_{i-1}(\mu_{i-1}) + \lambda_i(\mu_i)), \quad \lambda_{i,i+1} = \frac{1}{2}(\lambda_i(\mu_i) + \lambda_{i+1}(\mu_{i+1})) \quad (9)$$

могут содержать m_{i-1} , m_i , m_{i+1} , неравные предельным значениям $\{0 \cup 1\}$. В этом случае имеет место теплодинамика сочлененных зон с фазовыми переходами. Приравняв левую и правую части полученных выражений с учетом (4), приходим к искомой модели теплодинамики грунта.

Для $j \in I_T(t) \cup I_M(t)$

$$H_j c_j(\mu_j) \frac{d\Theta_j(t)}{dt} = \lambda_{j-1,j} \Theta_{j-1}(t) + \lambda_{j,j+1} \Theta_{j+1}(t) - (\lambda_{j-1,j} + \lambda_{j,j+1}) \Theta_j(t), \quad (10)$$

для $i \in I_n(t)$

$$H_i (c_i(\mu_i(t)) + \tau_{\Phi}) \frac{d\Theta_i(t)}{t} = \lambda_{i-1,i} \Theta_{i-1}(t) + \lambda_{i,i+1} \Theta_{i+1}(t) - \frac{1}{2}(\lambda_{i-1,i} + \lambda_{i,i+1}) \Theta_i(t) + \Delta q_i,$$

где τ_{Φ} , Δq_i и $\lambda_{k,k+1}$ — из (7)–(9) соответственно, причем $m_i = \{0 \cup 1\}$, а $m_i \hat{I} [0, 1]$.

Моделирование теплодинамических процессов в пятислойной схеме с однородными свойствами осуществлялось для трех начальных значений распределения $\Theta_i(0)$ вдоль геотермалей [11]. В таблице приняты следующие обозначения: H — мощность слоевого деления (м), Θ_{\square} — среднегодовая температура поверхности ($^{\circ}\text{C}$), Θ_{\circ} — квазистатическое значение температуры на глубине 12 м.

H	$\frac{c_T}{c_M}$	$\frac{\lambda_T}{\lambda_M}$	$\Delta \Theta$	b	Θ_{\square}	Начальное распределение $\Theta_i(0)$						
						по геотермали						$\Delta \Theta_{\square}$
						Θ_{\square}	1	2	3	4	5	
2	$\frac{3.13 \cdot 10^6}{2.34 \cdot 10^6}$	$\frac{1.51}{1.69}$	1	0,25	-0,5	-10	-4	-3,4	-3,4	-3,3	-2,7	-2
					0	0	3,4	2,6	1,7	1,1	0,9	0
					0	10	11,3	9,2	6,7	4,7	3,2	2

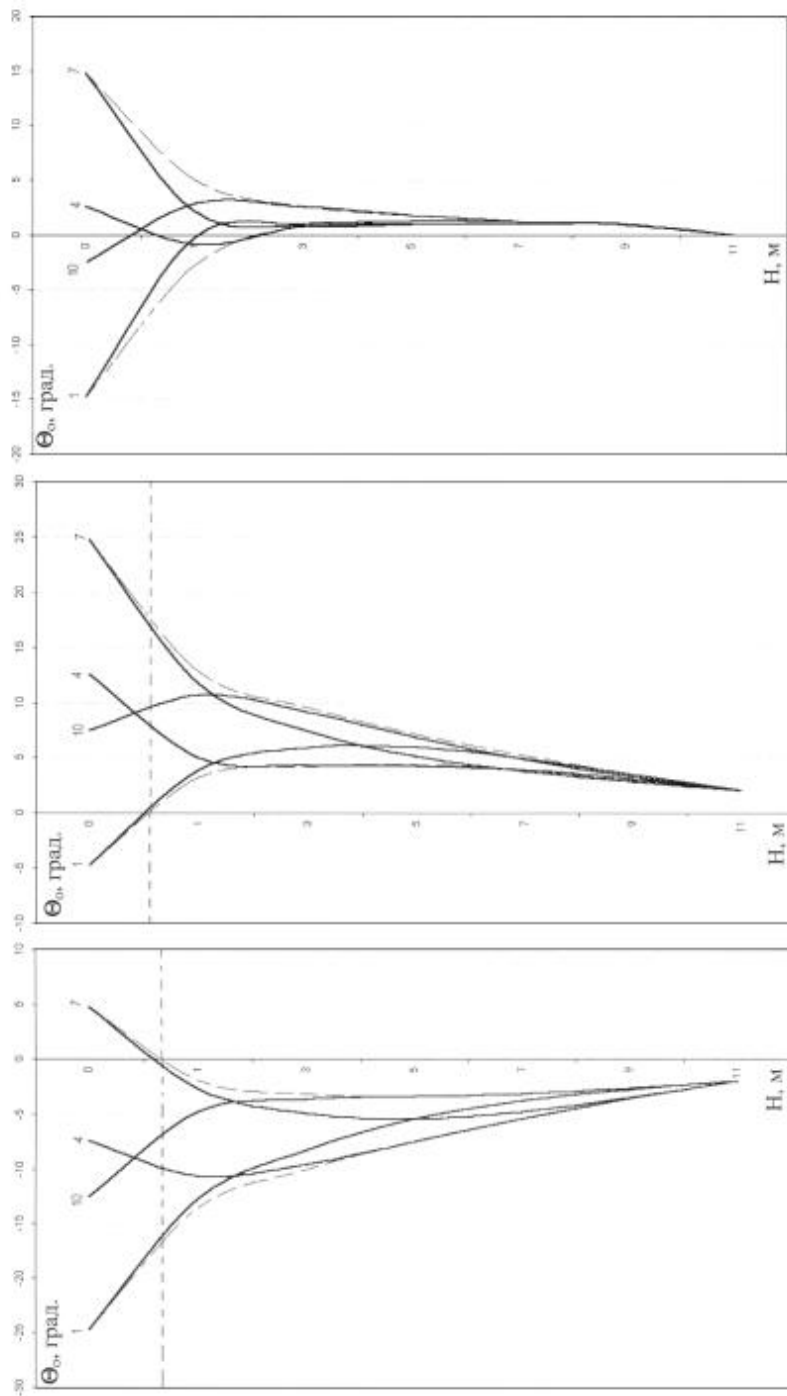


Рис. 3. Распределение температуры по глубине

Годовая динамика температуры поверхности задается функцией вида

$$\Theta_0(t) = \Theta_0 - \Delta\Theta_0 \sin \omega \cdot t, \quad \Delta\Theta_0 = 15 \text{ } ^\circ\text{C}.$$

Численное интегрирование системы (10) осуществлялось по явной схеме Эйлера.

Результаты моделирования представлены на рис. 3, где выделены графики распределения температур по глубине для средних чисел января — 1, апреля — 4, июля — 7 и октября — 10. Наибольшее затухание амплитуды колебаний температуры по глубине наблюдается в случае нулевой геотермалы, где зона деятельного слоя грунта, отмеченная пунктиром, максимальна.

ЛИТЕРАТУРА

1. Фельдман Г. М. Методы расчета температурного режима мерзлых грунтов. М.: Наука, 1973. 254 с.
2. Гречищев С. Е., Чистотинов Л. В., Щур Ю. Л. Основы моделирования криогенных физико-геологических процессов. М.: Наука, 1984. 232 с.

3. Горбылёв М. И., Красс М. С., Соловьев Б. С. Искусственное замораживание грунтов при освоении месторождений нефти и газа Западной Сибири. НТС Задачи механики природных процессов / Под ред. С. С. Григоряна, М. С. Красс. М.: Изд-во Моск. ун-та, 1983. С. 64–70.
4. Горелик Я. Б., Колунин В. С. Физика и моделирование криогенных процессов в литосфере / Отв. ред. акад. В. П. Мельников. Новосибирск: Изд-во СО РАН, филиал «Гео», 2002. 317 с.
5. Инженерно-геологический мониторинг промыслов Ямала. В 2 т. Т. 1: Моделирование термомеханического взаимодействия сооружений с грунтами / М. М. Дубина, В. В. Коновалов, В. Р. Цибульский, Ю. А. Черняков. Новосибирск: Наука, 1996. 136 с.
6. Пермяков П. П., Аммосов А. П. Математическое моделирование техногенного замерзания в криолитозоне. Новосибирск: Наука, 2003. 224 с.
7. Долгих Г. М., Кинцлер Ю. Э., Окунев С. Н. Практический опыт строительства оснований зданий и сооружений в условиях ВМГ. Тюмень: Фундаментстройаркос, 2002. 156 с.
8. Черняк Л. GRID как будущее компьютеринга // Открытые системы. 2003. № 1. С. 16–19.
9. Современные системы управления / Р. Дорф, Р. Бишоп. М.: Лаборатория Базовых Знаний, 2002. 832 с.
10. Ершов Э. Д. Общая геокриология. М.: Недра, 1990. 559 с.
11. Инженерно-геологический мониторинг промыслов Ямала. В 2 т. Т. 2: Геокриологические условия освоения Бованенковского месторождения / В. В. Баулин, В. И. Аксёнов, Г. И. Дубиков и др. Тюмень: Ин-т проблем освоения Севера СО РАН, 1996. 240 с.

I. G. Solovyov, A. V. Vas'kevitch

A MODEL OF SOILS' HEAT DYNAMICS IN STATE SPACE

The article presents a thermodynamic model of soils in the state space of zonal temperatures, quoting the results of numerical analysis.

***) В зависимости от объемной влажности b_i и минерализации воды температура для зон неодинакова.